

II-414 広域管網の2次元数値解法における角点の安定性について

京都大学

同 (現・新日本鉄工)

同

正会員 住友恒

川入健二

橋本一男

1. はじめに： 水道が広域化の時代を迎えた、広域化の効果を技術的に定量化してゆく必要性が高まつた。その一環として連絡管の効果や流域調整池の効果を検討するため、流域都市域の複雑な管網データを阻力詳細に入力した上でそれらのデータを活かした型式管網流を解く必要がある。¹⁾ 筆者らはすでにいくつもの検討を加えてきたが、本文ではそれらのうち、数値解法の安定条件に関する検討結果を要約し、得られた結果の一例を示すことによって本解法の実用的効果(安定性)を示すことを目的とする。

2. 広域管網の2次元数値解法

対象域を格子区分し、それそれににおける実際の管種管量別管網データを用いて何らかの型式の格子を一本の仮想管で結ぶモデル化を行う。そこでの格子内の流れは一般的の2次元流と同様にたとえば次式で表現できる。

$$\left. \begin{aligned} \frac{1}{gA_x} \frac{\partial Q_x}{\partial t} &= -\frac{\partial h}{\partial x} - \frac{\partial z}{\partial x} - \frac{r_x}{A_x} |Q_x| Q_x \\ \frac{1}{gA_y} \frac{\partial Q_y}{\partial t} &= -\frac{\partial h}{\partial y} - \frac{\partial z}{\partial y} - \frac{r_y}{A_y} |Q_y| Q_y \\ \frac{\partial Q_x}{\partial x} \cdot \Delta x + \frac{\partial Q_y}{\partial y} \cdot \Delta y &= Q_s \end{aligned} \right\} \quad \begin{aligned} r_x &= \sqrt{\frac{\pi^2 g^4}{A_x^3}} \cdot n^2 \cdot \Delta x \\ r_y &= \sqrt{\frac{\pi^2 g^4}{A_y^3}} \cdot n^2 \cdot \Delta y \end{aligned} \quad (1)$$

ただし、 h は水頭、 $\Delta x, \Delta y$ は格子間隔、 Q_s は格子内での流出入量(流入正)、 A_x, A_y は x, y 方向の仮想管断面積、上記 r_x, r_y は抵抗係数(数値Manning式を用いた場合)。これらの式を数値解法として解く。

3. 数値解法の安定条件

格子を添字 i, j 、時間ステップをこれで表示した上で上式(1)を差分表示し、収束解 Q_x^n, Q_y^n, h^n と x, y 方向の誤差量 $\delta Q_x, \delta Q_y, \delta h$ 、 $Q_x = Q_x^n + \delta Q_x, Q_y = Q_y^n + \delta Q_y, h = h^n + \delta h$ と表記式に代入する。計算の満たすべき式と式(2)を得る。なお、式(1)の第三式左辺にイタレーション項とし、 $\tilde{A} \frac{\partial h}{\partial t}$ 項を付加する。すなはち、 $\frac{\partial h}{\partial t}$ が限りなく0に近づいたとき解を得る構造とする。また、一つの方法として、 $\tilde{A} = \alpha / \tilde{A}_{ij}$ (\tilde{A}_{ij} は各格子の四方向の仮想管の全断面積和)を採用する。ただし α はイタレーションのための係数で、この α を「本格子定数を接する必要がある」と具体的な問題とする。

$$\left. \begin{aligned} \frac{1}{gA_{ij}x} \cdot \frac{\delta Q_{ijx}^n - \delta Q_{ijx}^{n-1}}{\Delta t} + \frac{\delta h_{ij+1}^n - \delta h_{ij}^n}{\Delta x} + \frac{r_{ijx}}{\Delta x} \{ \delta Q_{ijx}^n (|Q_{ijx}^n| + Q_{ijx}^n) \} &= 0 \\ \frac{1}{gA_{ijy}} \cdot \frac{\delta Q_{ijy}^n - \delta Q_{ijy}^{n-1}}{\Delta t} + \frac{\delta h_{ij+1}^n - \delta h_{ij}^n}{\Delta y} + \frac{r_{ijy}}{\Delta y} \{ \delta Q_{ijy}^n (|Q_{ijy}^n| + Q_{ijy}^n) \} &= 0 \\ \frac{\delta h_{ij}^n - \delta h_{ij}^{n-1}}{\Delta t} &= (\alpha / \tilde{A}_{ij}) \{ \delta Q_{ij+1, x}^{n-1} - \delta Q_{ij, x}^{n-1} + \delta Q_{ij+1, y}^{n-1} - \delta Q_{ij, y}^{n-1} \} \end{aligned} \right\} \quad (2)$$

式(2)、第1、第2式の第3項の特徴(非線形性)を $(|Q_{ij}| + Q_{ij}^n)$ を各ステップで実数扱いする近似法²⁾、Van Neumann方法³⁾で検討する。すなはち、誤差を $\gamma = 1 - \text{II}\text{-II}$ 級数表示によると $\delta Q_{ijx}^n = \bar{Q}_x \cdot e^{i(\xi_x i \Delta x + \xi_y j \Delta y + \beta n \Delta t)}$ 、 $\delta Q_{ijy}^n = \bar{Q}_y \cdot e^{i(\xi_x i \Delta x + \xi_y j \Delta y + \beta n \Delta t)}$ 、 $\delta h_{ij}^n = \bar{h} \cdot e^{i(\xi_x i \Delta x + \xi_y j \Delta y + \beta n \Delta t)}$ 、 $(\xi_x = \sqrt{-1}, \xi_y = \sqrt{-1}, I = \sqrt{-1})$ と表現する。これら関係を式(2)に代入し、 $Z = e^{i \beta \Delta t}$ (Amplification Factor)、 $\xi_x = \xi_x \Delta x$ 、 $\xi_y = \xi_y \Delta y$ 、 $4 \sin^2(\xi/2) = e^{i \xi} - 1$ と表現して $\bar{Q}_x, \bar{Q}_y, \bar{h}$ に関する連立方程式を得る。 $\bar{Q}_x, \bar{Q}_y, \bar{h}$ は α を0でないと仮定して \bar{Q}_x について $\bar{P}_1, \bar{P}_2, \bar{P}_3, \bar{P}_4$ と並はつきの3次式を満足する。

$$\bar{P}_1 Z^3 + \bar{P}_2 Z^2 + \bar{P}_3 Z + \bar{P}_4 = 0 \quad (3)$$

ただし、 $P_1 = F_x F_y + F_x (A_y - B_y \sin^2(\xi_y/2)) + F_y (A_x - B_x \sin^2(\xi_x/2))$ 、 $P_2 = F_x A_y + F_y A_x + A_x A_y - B_y B_x$

$$\sin^2(\beta_y/2) - B_x A_y \sin^2(\beta_x/2), P_4 = -A_x \cdot A_y, F_x = A_x + C_x, F_y = A_y + C_y, B_x = 4H_x(\alpha/\hat{A}_{ij}), B_y = 4H_y(\alpha/\hat{A}_{ij}), A_x = 1/g A_{ij} x, A_y = 1/g A_{ij} y, C_x = R_{ij} x \lambda x \{ Q_{ij} x + Q_{ij} y \}, C_y = R_{ij} y \lambda y \{ Q_{ij} y + Q_{ij} x \}, H_x = (\alpha t)^2 / \Delta x, H_y = (\alpha t)^2 / \Delta y$$

謹差式時間とともに成長しないための条件 $|z| = |e^{i\beta at}| \leq 1$ を特別な条件下、 $H_x = H_y = \mu$, $\lambda_x = \lambda_y = \lambda$ のとき、(i) $\beta_x = \beta_y = 0$ のとき、(ii) $\beta_x = \beta_y = \pi$ のとき、(iii) $\beta_x = 0$, $\beta_y = \pi$ のとき、(iv) $\beta_x = \pi$, $\beta_y = 0$ のとき、の4ケースについて検討する。以上に満足する条件として $\alpha t = \pi/2$ までの安定条件式を得る。

$$0 < \alpha < \frac{1}{2g} \cdot \frac{\hat{A}_{ij}}{A_{ij} x} \cdot \frac{\Delta x}{(\alpha t)^2} \cdot [1 + \frac{1}{2} g A_{ij} x R_{ij} x \lambda \{ Q_{ij} x + Q_{ij} y \} + \sqrt{1 + g A_{ij} x R_{ij} x \lambda \{ Q_{ij} x + Q_{ij} y \}}] \quad (4)$$

実試算値より $\alpha t = 1$ sec, $\Delta x = \Delta y = 500$ m, $\hat{A}_{ij} = A_{ij} x = A_{ij} y$ と α の値を求めてみると、 $0 < \alpha < 51$ を得る。

4. 大阪府下全域の管網計算例

大阪府下は府営水道による幹線供給と水を受ける各市町村の給水といふ二重の構造となっておりとぞから、各市町村別に二次元化し両者を所定の地図で連結する二重構造の2次元モデルで逐次計算した。この詳細は別紙資料会に印すり、結果の表示例が図-1から図-3である。図-2は α (値については幹線モデルで、給水モデルで5を採用した)。結果の精度を検証する目的で府営水道幹線ルートでの実測水压と計算値を対比したのが図-4である。

図-1.
大阪府下での管
内流のパトル
表示
(計算値)

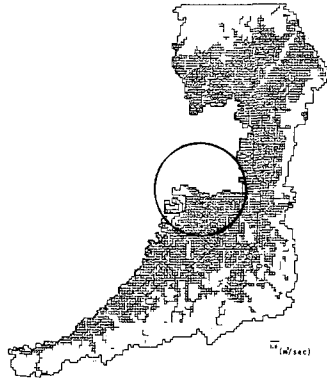


図-2.
大園九印地域
の拡大図

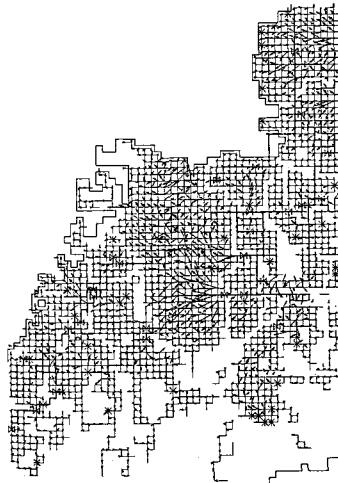


図-3.
大阪府下での
管内水圧
(計算値)

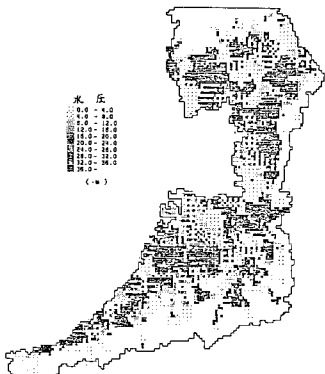
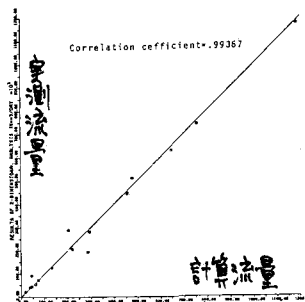


図-4.
府営水道幹線
での実測値と
計算値の流量
対比



参考文献

- 1) 佐伯信: 面的評価による都市配水計画に関する研究, 京大学位論文, 昭50.4, 2) 住友川人: 広域管網水流の2次元解法の可能性, 水道協会誌, 昭59号, 昭58.10, 3) 川人: 广域管網水流の2次元解法, 京大修士論文, 昭59.3, 4) 棚本: 广域配水管網の面的解法, 京大論, 昭59.3, 5) 住友川人: 广域管網水流の2次元解法とその検証, 水道協会誌(未掲載), 6) 里林: 菅今スチーマ安定性, 土木学会誌, No.6, 昭48